

2.1.5. Detektory półprzewodnikowe typu P-I-N .

Półprzewodnikowe detektory promieniowania jonizującego różnią się od omówionych uprzednio komór jonizacyjnych z wypełnieniem gazowym rodzajem medium aktywnego. Stanowi je w tym przypadku materiał półprzewodnikowy, spełniający podstawowe wymagania umożliwiające wydajną produkcję nośników ładunku w procesie detekcji promieniowania oraz ich efektywne zbieranie. Przypomnijmy najważniejsze:

- Czas życia wygenerowanych nośników ładunku musi być dłuższy od czasu ich zbierania
- Ruchliwość nośników ładunku powinna być dostatecznie duża w celu maksymalnego skrócenia czasu ich zbierania
- Z tych samych względów pożądana jest możliwość uzyskania w objętości medium czynnego jak największego natężenia pola elektrycznego
- Mimo dużej wartości natężenia pola elektrycznego prąd upływu powinien być pomijalnie mały (teoretycznie równy zero).
- Energia niezbędna na „utworzenie” pary *elektron - dziura* powinna być możliwie mała dla osiągnięcia wysokiej rozdzielczości energetycznej.

Najbardziej zbliżoną do gazowej komory jonizacyjnej realizacją detektora półprzewodnikowego jest tzw. *detektor z polem jednorodnym* . Stanowi go spolaryzowana napięciem V_s specjalnej konstrukcji dioda półprzewodnikowa typu **P-I-N**. Jest to struktura trzechwarstwowa, której warstwy skrajne (pełniące funkcje elektrod zbiorczych) wykonane są odpowiednio z wysoko domieszkowanego półprzewodnika typu „**p**” oraz „**n**”, zaś dzieląca je warstwa pośrednia „**i**” (o jednakowych koncentracjach donorów i akceptorów) tworzy właściwą strefę detekcji. Warstwa pośrednia wytwarzana jest w procesie dryfowania **jonów litu** do wyjściowego materiału typu „**p**” i jej szerokość może być formowana dowolnie w procesie technologicznym. Od metody wytwarzania *skompensowanej* warstwy pośredniej detektory tego typu zyskały nazwę **detektorów dryfowych**, oznaczanych umownie symbolami **Si(Li)** lub **Ge(Li)**.

Pełna kompensacja warstwy pośredniej **nie daje możliwości powstania w niej ładunku przestrzennego**. Ta właśnie cecha detektora dryfowego upodabnia go szczególnie do gazowej komory jonizacyjnej, dając podstawę dla alternatywnej nazwy „**detektor z polem jednorodnym**”.

Analiza pracy detektora z polem jednorodnym jako generatora sygnału elektrycznego opiera się na następujących założeniach (założenia Hansena) ⁶.

- W strefie czynnej detektora rozkład pola elektrycznego jest jednorodny tj. $E(x,y,z)=const$.
- Wzdłuż toru cząstki jonizującej utrzymywana jest stała jonizacja właściwa,
- Straty nośników ładunku w procesie rekombinacji i pułapkowania są pomijalnie małe,
- Ruchliwość nośników ładunku nie zależy od wartości natężenia pola elektrycznego.

Wobec wzajemnej kompensacji ładunku przestrzennego reprezentowanego przez zjonizowane donory i akceptory w objętości czynnej detektora, a także usunięcia z tej strefy swobodnych nośników ładunku, wytwarzane w niej pole elektryczne uwarunkowane jest wyłącznie napięciem polaryzacji V_s oraz szerokością warstwy skompensowanej D . Natężenie tego pola jest więc opisane taką samą formułą z jakiej korzystaliśmy w przypadku płaskiej komory gazowej (2). Wyjściowym równaniem w procedurze analitycznego wyznaczenia tej zależności jest równanie **Laplace’a**

$$\nabla^2 \varphi = 0 \quad (31)$$

Na gruncie założenia o jednorodności pola dalszą analizę przeprowadzimy w liniowym układzie współrzędnych, wiążąc jego początek z warstwą półprzewodnika „p⁺”, stanowiącą kontakt omowy utrzymywany na potencjale zerowym. Dodatnio spolaryzowana (napięciem V_s) warstwa „n⁺” stanowi drugi kontakt omowy pełniący funkcję elektrody wyjściowej, z której odbierany jest wyindukowany impuls prądowy.

Pierwsze scałkowanie równania (31) prowadzi do formalnego, jakościowego potwierdzenia założenia o stałości pola elektrycznego

$$\frac{d\varphi}{dx} = -E(x) = C_1 \quad (const) \quad (32)$$

Powtórne całkowanie przy uwzględnieniu warunków brzegowych, stanowiących że

$$\begin{aligned} \text{dla } x = 0 &\rightarrow \varphi = 0 \\ \text{oraz dla } x = D &\rightarrow \varphi = \varphi_{max} \cong V_s \end{aligned} \quad (33)$$

daje wyrażenie określające rozkład potencjału $\varphi(x)$ w warstwie skompensowanej „i”.

$$\varphi(x) = \frac{V_s}{D} x \quad (34)$$

pozwalając zarazem wyznaczyć wartość stałej całkowania C_1 w równaniu (32). Wynosi ona

$$C_1 = \frac{V_s}{D}$$

W rezultacie równanie opisujące rozkład natężenia pola w warstwie skompensowanej można przepisać w postaci dogodnej do dalszych obliczeń, a mianowicie.

$$E(x) = E_{max} = -\frac{V_s}{D} \quad (35)$$

Wynikająca stąd funkcja rozkładu pola elektrycznego $\Psi(x)$ przyjmuje więc postać (4). Jest to jedna z wielkości determinujących według równania Ramo-Shockley’a przebiegi czasowe składowych (elektronowej i dziurowej) indukowanego impulsu prądowego. Drugą stanowi prędkość dryfu tych nośników w_k w materiale półprzewodnika powiązana z natężeniem pola elektrycznego następującą zależnością

$$w_k = \pm \mu_k E \quad (36)$$

Indeks „k” określa rodzaj nośnika ładunku, przy czym $k=el$ dla elektronów oraz $k=dz$ dla dziur. Dodajmy jeszcze, że wartości ruchliwości elektronów i dziur są tego samego rzędu.

Zakładając nadal punktową produkcję nośników ładunku i oznaczając jego wartość przez Q_o , w wyniku prostych obliczeń otrzymujemy równania opisujące odpowiednio składową elektronową i dziurową impulsu prądowego detektora.

$$i_{el}(t) = \frac{Q_o \mu_{el} V_s}{D^2} = const \quad (37)$$

$$0 < t < T_e$$

oraz

$$i_{jon}(t) = \frac{Q_o \mu_{dz} V_s}{D^2} = const \quad (38)$$

$$0 < t < T_{jon}$$

Czasy zbierania nośników ładunku o początkowym położeniu w punkcie x_0 wyrażają z kolei zależności

$$T_{el} = D \frac{D - x_0}{\mu_{el} V_s} \quad (39)$$

oraz

$$T_{dz} = D \frac{x_0}{\mu_{dz} V_s} \quad (40)$$

Rzeczywiste detektory typu **P-I-N** odbiegają swymi własnościami od przedstawionej wyżej struktury „z polem jednorodnym”. Podstawowe odstępstwo wynika z trudności uzyskania idealnej kompensacji domieszek donorowych i akceptorowych w warstwie pośredniej i manifestuje się określonym rozkładem natężenia pola elektrycznego w strefie czynnej detektora. Tak na przykład, w oparciu o wyniki swych badań doświadczalnych, M. Moszyński⁷ zaproponował następującą postać tego rozkładu

$$E(x) = E_{max} \left(1 - \frac{x^2}{D^2}\right) \quad (41)$$

Wynika on z rozkładu koncentracji nieskompensowanych donorów $N_d(x)$, wyznaczonego metodą dopasowania funkcji analitycznej do przebiegu odpowiedzi napięciowej detektora na wygenerowanie na krawędzi jego strefy czynnej, określonego ilościowo ładunku punktowego.

$$N_d(x) = A \left(1 - \frac{x^2}{D^2}\right) \quad (42)$$

gdzie

$$A = \frac{j}{\mu_{el} q} = const \quad \text{zaś „}j\text{” oznacza gęstość prądu.}$$

W tym ujęciu przebiegi obu składowych indukowanego impulsu prądowego opisują odpowiednio równania (43) i (44).

$$i_{el}(t) = \frac{Q_o}{\tau} \frac{1}{\cosh^2 \left[\frac{t}{\tau} + \text{Artgh} \frac{x_0}{D} \right]} \quad (43)$$

$$0 < t < T_{el}$$

oraz

$$i_{dz}(t) = \frac{Q_o}{b} \frac{1}{\cosh^2 \left[\frac{t}{b\tau} - \text{Artgh} \frac{x_0}{D} \right]} \quad (44)$$

$$0 < t < T_{dz}$$

Symbolem τ oznaczono parametr dopasowania, związany z fizycznymi parametrami detektora relacją

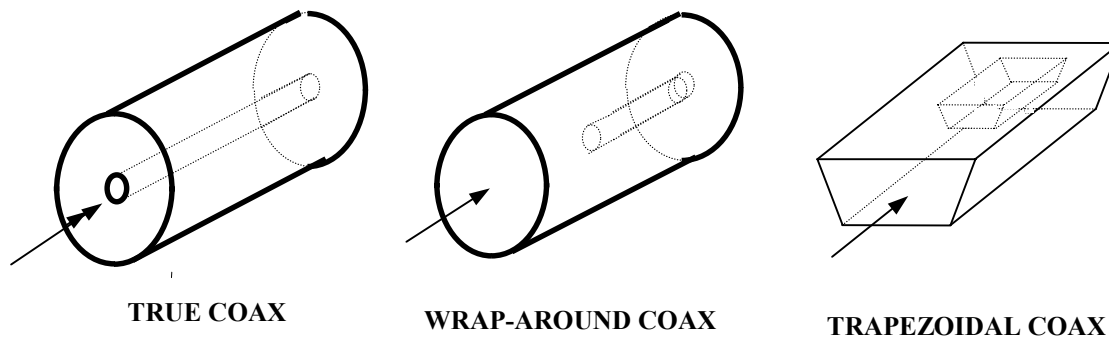
$$\tau = \frac{2}{3} \frac{D^2}{\mu_{el} V_s} \quad (45)$$

natomiast współczynnik b oznacza stosunek ruchliwości elektronów do ruchliwości dziur.

Niejednorodność pola elektrycznego powoduje istotne zmiany proporcji między czasami zbierania nośników ładunku. W szczególności, czas zbierania elektronów zdąża do nieskończoności, zaś czas zbierania dziur określa zależność

$$T_{dz} = b \tau \operatorname{Artgh} \frac{x_0}{D} \quad (46)$$

Poza konfiguracją *planarną* detektory dryfowe wykonywane są również w wielu odmianach konfiguracji *koaksjalnej*. Wypada wymienić choćby nazwy nadane im przez producentów, a mianowicie: „*TRUE COAX*”, „*WRAP-AROUND COAX*” i „*TRAPEZOIDAL COAX*”⁸. Konfiguracje te przedstawiono schematycznie na rysunku 6.



Rys. 6. Różne konfiguracje detektorów koncentrycznych typu „P-I-N”

Rdzeń wewnętrzny stanowi półprzewodnik typu p , natomiast kontur zewnętrzny warstwę półprzewodnika typu n ; między nimi warstwa skompensowana i .

Ich wspólną cechą jest brak ładunku przestrzennego w objętości czynnej detektora, różnią się natomiast kształtem funkcji rozkładu natężenia pola $\Psi(\mathbf{r})$ wpływającym znacząco na rozdzielczość czasową detektora.

2.1.6. Detektory półprzewodnikowe typu „P-N”

Detektor tej kategorii odpowiada strukturze skrajnie niesymetrycznego złącza **p-n** spolaryzowanego zaporowo zewnętrznym napięciem V_s . Warstwa „p” o zminimalizowanej szerokości pełni z założenia funkcję *okienka* dla promieniowania jonizującego, zaś *strefa czynna* detektora rozciąga się w obszarze półprzewodnika „n” na głębokość równą szerokości warstwy zaporowej **D**.

Założmy, że rozważana struktura cechuje się symetrią osiową i przyjmijmy dla potrzeb analizy jednowymiarowy układ odniesienia z początkiem związanym z krawędzią wewnętrzną złącza. Warunek polaryzacji zaporowej narzuca dodatnią polaryzację warstwy „n”. Wyjściowym równaniem podejmowanej analizy jest w tym przypadku równanie **Poissona**.

$$\nabla^2 \varphi = -\frac{\rho}{\varepsilon \varepsilon_0} \quad (47)$$

gdzie: $\rho = q(N+p-n)$, zaś $N=(N_d-N_a)$

$\varphi=\varphi(x)$ określa potencjał na współrzędnej x

ε - stała dielektryczna materiału półprzewodnikowego

ε_0 - stała dielektryczna próżni

N_d - koncentracja donorów w warstwie „n”

N_a - koncentracja akceptorów w warstwie „n”

n - koncentracja elektronów w warstwie „n”

p - koncentracja dziur w warstwie „n”

W warstwie zaporowej praktycznie nie ma swobodnych nośników ładunku. Z tego powodu obok określenia *warstwa zaporowa* używana jest nazwa *warstwa zubożona* oraz *warstwa ładunku przestrzennego*. W konsekwencji faktu, że $N_a=0$, równanie Poissona zredukuje się do postaci

$$\frac{d^2 \varphi}{dx^2} = -\frac{q N_d}{\varepsilon \varepsilon_0} \quad (48)$$

Scałkowanie powyższego równania przy uwzględnieniu warunków brzegowych, według których

$$\text{dla } x=D \quad E=E(D)=0$$

$$\text{oraz dla } x=0 \quad E=E_{max}$$

prowadzi do zależności:

$$E(x) = E_{max} \left(1 - \frac{x}{D}\right) \quad (49)$$

przy czym

$$E_{max} = -\frac{q N_d D}{\varepsilon \varepsilon_0} \quad (50)$$

Kolejne całkowanie daje w wyniku wyrażenie, określające rozkład potencjału wzdłuż osi x . Uwzględniając odpowiednie warunki brzegowe tj.

$$\text{dla } x=0 \quad \varphi=0$$

$$\text{oraz dla } x=D \quad \varphi=\varphi_{max}$$

jak również związek $\varphi_{max}=(V_s+\varphi_d) \cong V_s$ dochodzimy do szukanej funkcji rozkładu $\varphi(x)$

$$\varphi(x) = \frac{E_{max}}{D} \left(\frac{x^2}{2} - xD \right) = \frac{q N_d}{2 \varepsilon \varepsilon_0} (2xD - x^2) \quad (51)$$

Kombinacja powyższych zależności umożliwia wyznaczenie wartości maksymalnej natężenia pola E_{max} w funkcji napięcia polaryzacji detektora V_s , a mianowicie

$$E_{max} \cong -\frac{2V_s}{D} \quad (52)$$

W dalszej kolejności, korzystając z ukazanych związków, funkcję $E(x)$ określoną równaniem (49) wyrazimy w postaci

$$E(x) = \frac{2V_s}{D^2} (x - D) \quad (53)$$

Determinuje ona, stosownie do relacji (36), prędkość dryfu nośników ładunku w funkcji ich chwilowego położenia „ x ”, które z kolei jest określoną funkcją czasu. W celu odwikłania tej zależności funkcyjnej skorzystamy ponownie z różniczkowej formy jej zapisu.

$$\frac{dx}{x - D} = \pm \frac{2\mu_k V}{D^2} dt \quad (54)$$

Scałkowanie równania (54) przy uwzględnieniu warunków początkowych [dla $t=0 \div x=x_0$] daje w wyniku

$$x(t) = D - (D - x_0) \exp\left(\pm \frac{t}{\tau_k}\right) \quad (55)$$

gdzie symbolem τ_k oznaczono tzw. *dielektryczną stałą czasową* równą

$$\tau_k = \frac{D^2}{2\mu_k V_s} \quad (56)$$

Podstawienie (55) do równania opisującego rozkład natężenia pola elektrycznego $E(x)$, daje z kolei zależność natężenia pola od czasu w układzie ruchomym związanym z dryfującymi swobodnymi nośnikami ładunku, a w dalszej konsekwencji również zależność $w_k(t)$.

$$w_k(t) = \frac{1}{\tau_k} (D - x_0) \exp\left(\pm \frac{t}{\tau_k}\right) \quad (57)$$

Dla struktury planarnej, jaka jest przedmiotem niniejszej analizy, funkcja $\Psi(x)$, jest tożsama z funkcją uzyskaną uprzednio w analizie płaskiej komory jonizacyjnej (4). W przyjętej tu notacji wynosi ona

$$\Psi(x) = \frac{1}{D} \quad (58)$$

Podstawienie wyrażeń (57) i (58) do równania Ramo-Shockley'a , przy zadanej wartości ładunku Q_o , wygenerowanego w akcie detekcji promieniowania, daje w wyniku ogólną postać równania opisującego przebieg składowych indukowanego impulsu prądowego $i_k(t)$

$$i_k(t) = \frac{Q_o}{D \tau_k} (D - x_o) \exp\left(\pm \frac{t}{\tau_k}\right) \quad (59)$$

$$0 < t < T_k$$

W celu wraźniejszego uwidocznienia różnic przebiegów obu składowych $i_{el}(t)$ oraz $i_{jon}(t)$ rozpiszmy postać ogólną na dwa wyrażenia szczegółowe. Tak więc

Dla składowej elektronowej

$$i_{el}(t) = \frac{2 Q_o \mu_{el} V_s}{D^3} (D - x_o) e^{-\frac{2 \mu_{el} V_s}{D^2} t} \quad (60)$$

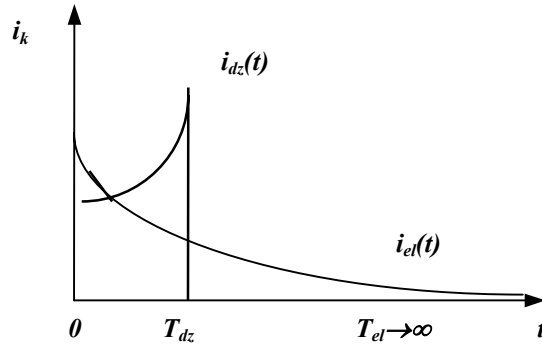
$$0 < t < T_{el}$$

Dla składowej dziurowej

$$i_{dz}(t) = \frac{2 Q_o \mu_{dz} V_s}{D^3} (D - x_o) e^{+\frac{2 \mu_{dz} V_s}{D^2} t} \quad (61)$$

$$0 < t < T_{dz}$$

Na rysunku 7 przedstawiono poglądowo przebiegi obu składowych impulsu prądowego.



Rys. 7. Przybliżony kształt przebiegów składowych impulsu prądowego

Jak uprzednio wspomniano, wartości ruchliwości elektronów i dziur są tego samego rzędu, stąd też początkowe wartości obu składowych $[i_k(0)]$ są współmierne. Jak wskazuje równanie (57), proces zbierania nośników ładunku przebiega w warunkach eksponencjalnie wzrastającej prędkości dryfu dziur oraz malejącej wykładniczo prędkości dryfu elektronów. W rezultacie czas zbierania elektronów teoretycznie zdąża do nieskończoności. Łatwo to wykazać całkując równanie (54) obustronnie w granicach; odpowiednio $\langle x_o \div D \rangle$. oraz $\langle 0 \div T_{el} \rangle$. Pro-

wadzi ono do wyrażenia

$$\ln(x - D) \Big|_{x_0}^D = -\frac{2\mu_{el} V_s}{D^2} T_{el} \quad (62)$$

skąd wynika, że

$$T_{el} \rightarrow \infty \quad (63)$$

Podobna procedura w odniesieniu do składowej dziurowej dla właściwych tym nośnikom granic całkowania [$\langle x_0 \neq 0 \rangle$ oraz $\langle 0 \neq T_{dz} \rangle$] daje w wyniku

$$T_{dz} = \frac{D^2}{2\mu_{dz} V_s} \ln\left(\frac{D}{D - x_0}\right) \quad (64)$$

W tablicach I i II zestawiono dla porównania zespół diagramów charakteryzujących dyskutowane typy detektorów półprzewodnikowych

Tablica I

DETEKTOR typu P-N	DETEKTORY typu P-I-N	
	$E(x) \neq \text{const}$	$E(x) = \text{const}$

Równanie (51) daje podstawę dla ilościowego określenia szerokości bariery D . Kładąc w nim $x = D$ i uwzględniając, że $\varphi(D) \cong V_s$ otrzymujemy związek

$$V_s = \frac{q N_d}{2 \epsilon \epsilon_0} (2D^2 - D^2) \quad (65)$$

Proste przekształcenie daje w wyniku

$$D = \sqrt{\frac{2 \epsilon \epsilon_o V_s}{q N_d}} \quad (66)$$

Zależność ta jest skrepowana ograniczeniem wnoszonym przez dopuszczalną wartość napięcia polaryzacji detektora $V_{s \max}$, powyżej której może nastąpić *przebiecie*.

Tablica II

DETEKTOR typu P-N	DETEKTORY typu P-I-N	
	$E(x) \neq \text{const}$	$E(x) = \text{const}$

Detektory półprzewodnikowe typu *ostrego złącza P-N* wykonywane są w dwu podstawowych odmianach, jako detektory z *barierą wewnętrzną* oraz detektory z *barierą powierzchniową*. W obu przypadkach strefę detekcji wyznacza obszar bariery uformowanej w słabo domieszkowanym półprzewodniku typu „n”. Do strefy tej promieniowanie jonizujące dociera poprzez bardzo cienką warstwę wysokodomieszkowanego półprzewodnika typu „p” (w detektorach z barierą wewnętrzną) względnie przez, napyloną na powierzchnię czołową półprzewodnika „n”, mikrowarstwę złota (w detektorach z barierą powierzchniową).

Omawiany rodzaj detektorów produkowany jest fabrycznie w postaci standardowych struktur w kształcie płaskich krążków o różnej grubości warstwy podstawowej, wyposażonych w zróżnicowane obudowy i wyprowadzenia elektrod⁸. Z grubością warstwy podstawowej wiąże się możliwość *rozbudowania bariery* na całą grubość tej warstwy. Stąd też liczna rodzina detektorów typu P-N wyróżnia dwa charakterystyczne ich rodzaje: **detektory częściowo zubożone** („*partially depleted detectors*”) oraz **detektory całkowicie zubożone** („*totally depleted detectors*”).

W realizacjach specjalnych, zorientowanych głównie na *detekcję pozycyjną*, detektory P-N przybierają odpowiednio różną konfigurację geometryczną. Stanowią je w tym przypadku złożone struktury wielodetektorowe wykonane bądź w formie „**matrycy mikrodetektorów**” - (*pixels*)⁹, bądź też jako „**zespół mikrostruktur paskowych**” - (*microstrip detectors*)¹⁰ lub *checker-board counters*¹¹).

Do *detektorów pozycjoczulych* zaliczają się również tzw. „**krzemowe komory dryfowe**” - (*silicon drift chambers*). Nie mieszczą się one jednak w dyskutowanych uprzednio kategoriach detektorów półprzewodnikowych i wymagają odrębnego potraktowania